





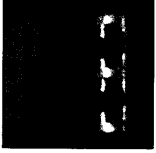
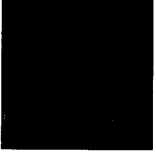


Inhaltsverzeichnis

- | | | | |
|----|---|--|---|
| 7 | Gast-Editorial <i>Wo ist der Magier geblieben?</i> | | Barry D. Wagenberg |
| 9 | Evaluation der parodontalen Regeneration nach Transplantation mit Bio-Oss-Kollagen bei Knochendefekten: Ein human-histologischer Bericht |  | Marc L. Nevins
Marcelo Camelo
Samuel E. Lynch
Robert K. Schenk
Myron Nevins |
| 19 | Prädiktion der Weichgewebsform um Einzelzahnimplantatrestaurationen |  | George Priest |
| 29 | Klinische und histologische Evaluation von Knochenersatzmaterial bei der Behandlung von lokalisierten Alveolarkammdefekten. Teil 1: Das mineralisierte gefriergetrocknete Allotransplantat |  | Frank Feuille
Charles I. Knapp
Michael A. Brunsvold
James T. Mellonig |
| 37 | Die Sofortbelastung von Zahnimplantaten im zahnlosen Oberkiefer: Fallstudie eines einzigartigen Protokolls |  | Thomas J. Balshi
Glenn J. Wolfinger |
| 47 | Klinische und histologische Evaluation von humanen Knochentaschen, die mit einem Schmelzmatrixproteinderivat in Kombination mit einem bovin-derivierten Xenotransplantat behandelt wurden |  | Anton Sculean
Peter Windisch
Tibor Keglevich
Giovanni Carlo Chiantella
István Gera
Nicolaoas Donos |
| 57 | Klinische Betrachtungen und rationale Überlegungen zur vereinfachten Instrumentierung bei der okklusalen Rehabilitation. Teil I: Einbringen der Modelle in den Artikulator |  | Stefano Gracis |
| 69 | Histologischer Effekt von phasenreinem Beta-Tricalciumphosphat bei der Knochenregeneration von humanen artifizialen Kieferknochendefekten |  | Paolo Trisi
Walter Rao
Alberto Rebaudi
Peter Fiore |
| 79 | Klinische Reparatur eines mit einem Zementtropfen assoziierten Knochendefekts: Eine Fallstudie |  | Paulo M. Camargo
Flavia Q. M. Pirih
Lawrence E. Wolinsky
Vojislav Lekovic
Heidi Kamrath
Shane N. White |
| 87 | Weichgewebskammaugmentation mit einer azellulären Hautmatrix |  | Randall J. Harris |